





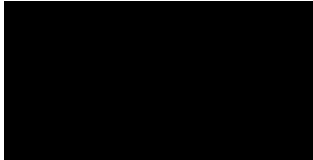
AB 1294



LABORATORIUM ANTEO Sp. z o.o.

ul. Chryzantem 23
41-700 Ruda Śląska
e-mail: laboratorium@anteo.pl

SPRAWOZDANIE Z BADAŃ POLA ELEKTROMAGNETYCZNEGO W OTOCZENIU STACJI BAZOWEJ TELEFONII KOMÓRKOWEJ SIECI P4 DLA POTRZEB OCHRONY LUDZI I ŚRODOWISKA

| | | | |
|---|---|---|----------------------------|
| Nr stacji | Miejsce wykonania pomiarów: | Data wykonania pomiarów: | Data wydania sprawozdania: |
| OPO1532B | 45-118 Opole, ul. <i>Harcerska 15</i> | 2026-04-22 | 2026-04-24 |
| Zleceniodawca: | P4 Sp. z o.o. ul. Wynalazek 1, 02-677 Warszawa | | |
| Nr ewidencyjny sprawozdania: | SP_2026-04-003-2-S_OPO1532B | | |
| Sprawozdanie wykonała: | Sprawdził: | Autoryzował/Data: | |
|  Specjalista ds. dokumentacji |  Kierownik laboratorium |  Kierownik laboratorium | |

1. Wstęp

Badania wykonano na podstawie umowy z dnia 2018-08-31 pomiędzy firmą **Laboratorium Anteo sp. z o.o., ul. Chryzantem 23/1, 41-700 Ruda Śląska**, a firmą **P4 Sp. z o.o., ul. Wynalazek 1, 02-677 Warszawa**, przekazanej do realizacji Laboratorium Anteo.

Sprawozdanie przedstawia wyniki sprawdzenia dotrzymania dopuszczalnych poziomów pola elektromagnetycznych w środowisku w otoczeniu instalacji - stacji bazowej **OPO1532B** będącej obiektem radiokomunikacyjnym P4 Sp. z o.o., w miejscach dostępnych dla ludności w otoczeniu ww. instalacji.

Wyniki pomiarów odnoszą się wyłącznie do istniejącej konfiguracji instalacji antenowej. Każda zmiana konfiguracji o ile zmiana ta może mieć wpływ na zmiany poziomów pola elektromagnetycznego wiąże się z koniecznością wykonania nowego badania

Laboratorium badawcze akredytowane przez PCA, Nr AB1294. Data ważności akredytacji: do 2027-10-27. Zakres wykonywanych przez laboratorium badań podany jest pod adresem www.pca.gov.pl.

Akredytacja Laboratorium w odniesieniu do normy PN-EN ISO/IEC 17025:2018-02 oznacza spełnienie wymagań dotyczących kompetencji technicznych i systemu zarządzania, koniecznych dla zapewnienia wiarygodnych technicznie wyników badań.

2. Metoda badań

- Załącznik do rozporządzenia Ministra Klimatu z dnia 17 lutego 2020 r. *Sposoby sprawdzania dotrzymywania dopuszczalnych poziomów pól elektromagnetycznych w środowisku (Dz. U. 2022, poz. 2630)*.

3. Akty prawne

- Obwieszczenie Ministra Klimatu i Środowiska z dnia 21 listopada 2022 r. w sprawie ogłoszenia jednolitego tekstu rozporządzenia Ministra Klimatu w sprawie sposobów sprawdzania dotrzymywania dopuszczalnych poziomów pól elektromagnetycznych w środowisku (Dz. U. 2022, poz. 2630).
- Rozporządzenie Ministra Zdrowia z dnia 17 grudnia 2019 r. w sprawie dopuszczalnych poziomów pól elektromagnetycznych w środowisku (Dz. U. 2019, poz. 2448).

4. Odstępstwa/ograniczenia i uwarunkowania metody badawczej

Brak odstępstw/ograniczeń metody badawczej.

5. Lokalizacja obiektu badań

Badany obiekt znajduje się w miejscowości 45-118 Opole, ul. Harcerska 15.
Współrzędne geograficzne obiektu: 17°55'19.30"E, 50°41'05.50"N.

6. Opis badania

Badany obiekt jest obiektem radiokomunikacyjnym sieci komórkowej (radiowa stacja bazowa telefonii mobilnej w sieci o przeznaczeniu publicznym). Anteny zainstalowano na wieży stalowej. Na obiekcie zainstalowano urządzenia pracujące w pasmach częstotliwości 2600MHz, 2100MHz, 1800MHz, 900MHz, 800MHz, 700MHz oraz radiolinii 80GHz. Pomiary pola elektromagnetycznego zostały wykonane w szczególności w tych miejscach, w których na podstawie przeprowadzonych obliczeń, stwierdzono występowanie w danych zakresach częstotliwości pola elektromagnetycznego o poziomach zbliżonych do dopuszczalnych. Na kierunku zbliżonym do azymutu anten pomiary wykonano do obliczonej odległości występowania pola elektromagnetycznego o najwyższym poziomie w miejscach dostępnych dla ludności, pochodzących z badanej instalacji. Pomiary wykonano w odległości nie mniejszej niż 0,3 m od urządzeń, obiektów i elementów metalowych.

Badanie zostało przeprowadzone w godz. od 11:45 do 13:00 przez:

██████████ – Specjalista ds. pomiarów PEM

7. Warunki atmosferyczne

| | | |
|-----------------------|----------------|-------------|
| Temperatura powietrza | Przed: 12,1° C | Po: 12,1° C |
| Wilgotność powietrza | Przed: 40,6% | Po: 40,6% |

Brak opadów atmosferycznych w czasie przeprowadzania badania.
 Pomiarzy zostały wykonane przy temperaturze i wilgotności względnej nie wyższej niż dopuszczalna specyfikacja miernika.

8. Parametry techniczne obiektu badań

Parametry techniczne/dane dotyczące źródeł promieniowania oraz współrzędne geograficzne obiektu zostały przekazane przez zleceniodawcę.

Tabela nr 1 – Parametry systemu nadawczo – odbiorczego pracującego w paśmie 2600MHz, 2100MHz, 1800MHz, 900MHz, 800MHz, 700MHz

Tabela nr 2 – Parametry linii radioliniowej

Parametry systemu nadawczo odbiorczego pracującego w paśmie – 2600MHz, 2100MHz, 1800MHz, 900MHz, 800MHz, 700MHz – tabela 1

| Charakterystyka promieniowania | | | | kierunkowa | | | | | |
|---------------------------------|-------------------|------------------------|------------|---|-------------|--------------------|---------------------|---------------|---------------|
| Rzeczywisty czas pracy [h/dobę] | | | | Całodobowa 24h | | | | | |
| Warunki pracy | | | | Znamionowe | | | | | |
| Rodzaj wytwarzanego pola | | | | stacjonarne | | | | | |
| Lp. | Typ nadajnika | Antena Producent / Typ | Azymut [°] | Wysokość środka elektr. anteny [m n.p.t.] | Pasmo [Mhz] | Kąt nachylenia [°] | EIRP dla anteny [W] | LON | LAT |
| 1 | RBS6xxx/2xxx/4xxx | Huawei ATR4518R6 | 120 | 33 | 700 | 0 - 10 | 21147 | 17°55'19.30"E | 50°41'05.50"N |
| | RBS6xxx/2xxx/4xxx | | | | 800 | 0 - 10 | | 17°55'19.30"E | 50°41'05.50"N |
| | RBS6xxx/2xxx/4xxx | | | | 900 | 0 - 10 | | 17°55'19.30"E | 50°41'05.50"N |
| | RBS6xxx/2xxx/4xxx | | | | 1800 | 0 - 10 | | 17°55'19.30"E | 50°41'05.50"N |
| | RBS6xxx/2xxx/4xxx | | | | 2100 | 0 - 10 | | 17°55'19.30"E | 50°41'05.50"N |
| 2 | RBS6xxx/2xxx/4xxx | Huawei ATR4518R6 | 120 | 33 | 700 | 0 - 10 | 15453 | 17°55'19.30"E | 50°41'05.50"N |
| | RBS6xxx/2xxx/4xxx | | | | 800 | 0 - 10 | | 17°55'19.30"E | 50°41'05.50"N |
| | RBS6xxx/2xxx/4xxx | | | | 900 | 0 - 10 | | 17°55'19.30"E | 50°41'05.50"N |
| | RBS6xxx/2xxx/4xxx | | | | 2600 | 0 - 10 | | 17°55'19.30"E | 50°41'05.50"N |
| 3 | RBS6xxx/2xxx/4xxx | Huawei ATR4518R6 | 215 | 33 | 700 | 0 - 10 | 21147 | 17°55'19.30"E | 50°41'05.50"N |
| | RBS6xxx/2xxx/4xxx | | | | 800 | 0 - 10 | | 17°55'19.30"E | 50°41'05.50"N |
| | RBS6xxx/2xxx/4xxx | | | | 900 | 0 - 10 | | 17°55'19.30"E | 50°41'05.50"N |
| | RBS6xxx/2xxx/4xxx | | | | 1800 | 0 - 10 | | 17°55'19.30"E | 50°41'05.50"N |
| | RBS6xxx/2xxx/4xxx | | | | 2100 | 0 - 10 | | 17°55'19.30"E | 50°41'05.50"N |
| 4 | RBS6xxx/2xxx/4xxx | Huawei ATR4518R6 | 215 | 33 | 700 | 0 - 10 | 15453 | 17°55'19.30"E | 50°41'05.50"N |
| | RBS6xxx/2xxx/4xxx | | | | 800 | 0 - 10 | | 17°55'19.30"E | 50°41'05.50"N |
| | RBS6xxx/2xxx/4xxx | | | | 900 | 0 - 10 | | 17°55'19.30"E | 50°41'05.50"N |
| | RBS6xxx/2xxx/4xxx | | | | 2600 | 0 - 10 | | 17°55'19.30"E | 50°41'05.50"N |
| 5 | RBS6xxx/2xxx/4xxx | Huawei ATR4518R6 | 315 | 33 | 700 | 0 - 10 | 21147 | 17°55'19.30"E | 50°41'05.50"N |
| | RBS6xxx/2xxx/4xxx | | | | 800 | 0 - 10 | | 17°55'19.30"E | 50°41'05.50"N |
| | RBS6xxx/2xxx/4xxx | | | | 900 | 0 - 10 | | 17°55'19.30"E | 50°41'05.50"N |

| | | | | | | | | | |
|---|-------------------|------------------|-----|------|--------|--------|---------------|---------------|---------------|
| | RBS6xxx/2xxx/4xxx | | | 1800 | 0 - 10 | | 17°55'19.30"E | 50°41'05.50"N | |
| | RBS6xxx/2xxx/4xxx | | | 2100 | 0 - 10 | | 17°55'19.30"E | 50°41'05.50"N | |
| 6 | RBS6xxx/2xxx/4xxx | Huawei ATR4518R6 | 315 | 33 | 700 | 0 - 10 | 15453 | 17°55'19.30"E | 50°41'05.50"N |
| | RBS6xxx/2xxx/4xxx | | | | 800 | 0 - 10 | | 17°55'19.30"E | 50°41'05.50"N |
| | RBS6xxx/2xxx/4xxx | | | | 900 | 0 - 10 | | 17°55'19.30"E | 50°41'05.50"N |
| | RBS6xxx/2xxx/4xxx | | | | 2600 | 0 - 10 | | 17°55'19.30"E | 50°41'05.50"N |

Parametry systemu nadawczo – odbiorczego linii radioliniowej – Tabela nr 2

| Charakterystyka promieniowania | | | | kierunkowa | | | | | |
|---------------------------------|-------------------|---------------------------|---------------------|----------------|---------------------|-------------|------------------------|---------------|---------------|
| Rzeczywisty czas pracy [h/dobę] | | | | 24 | | | | | |
| Rodzaj wytwarzanego pola | | | | stacjonarne | | | | | |
| Linia radiowa | | | | Antena | | | | | |
| L p. | Typ nadajnika | Częstotliwość pracy [GHz] | Moc wyjściowa [dBm] | Typ/prod ucent | Średnica anteny [m] | Azym ut [°] | Wysokość zainstal. [m] | LON | LAT |
| 1 | OPTIX RTN/HUAWE I | 80 | 18 | 0.3-80(A80S03) | 0,3 | 197 | 29,4 | 17°55'19.30"E | 50°41'05.50"N |

9. Sposób identyfikacji pola elektromagnetycznego

Niezbędnych informacji na temat źródeł pola udzielił Specjalista ds. Administracji Projektu P4 Sp. z o.o., który nie brał udziału w badaniach. Identyfikację źródeł i parametrów technicznych wykonano na podstawie analizy przekazanej ze zleceniem dokumentacji oraz obserwacji w miejscu wykonywania badań.

Z informacji zleciennodawcy wynika, że podczas badania anteny użytkownika o sterowanych wiązkach zostały ustawione w sposób opisany zgodnie z punktem 13 ppkt.2 załącznika do rozporządzenia Ministra Klimatu z dnia 17 lutego 2020 r. (Dz. U. 2022 poz. 2630).

10. Opis terenu

Stacja bazowa telefonii komórkowej sieci P4 Sp. z o.o. **OPO1532B** zlokalizowana jest na wieży stalowej w miejscowości 45-118 Opole, ul. Harcerska 15. Urządzenia nadawczo – odbiorcze znajdują się w szafach, które umieszczone są na przyziemiu. Bezpośrednim sąsiedztwem stacji są tereny przemysłowe, tereny użyteczności.

W badanym środowisku zidentyfikowano inne urządzenia/instalacje mogące mieć wpływ na wyniki mierzonego pola EM. Pomiaru zostały przeprowadzone jako szerokopasmowe w danym zakresie częstotliwości, w związku z tym uwzględniają inne grupy instalacji/urządzeń emitujących pola EM.

11. Sprzęt pomiarowy

Tabela nr 3 – Sprzęt pomiarowy

| Lp. | Nazwa i typ urządzenia | Numer identyfikacyjny |
|-----|---|------------------------------------|
| 1. | Zestaw pomiarowy NARDA NBM-520 wraz z sondą EF9091* | 2403/01B D-2211 2402/18B A-0148 |
| 2. | Zestaw pomiarowy NARDA NBM-520 wraz z sondą EF0691* | 2403/01B D-2211 2402/14B H-1142 |
| 3. | Termohigrometr UNI-T UT333 | C221221326 |
| 4. | Dalmierz laserowy GLM 250 VF | 209147077 |

*Zestaw pomiarowy przed wykonaniem pomiarów został sprawdzony za pomocą uniwersalnego testera sond UTEST-7

Tabela nr 4 – Szerokopasmowe mierniki pola elektromagnetycznego

| Lp. | Nazwa i typ urządzenia | Zakres pomiarowy | Numer świadectwa wzorcowania | Data następnego wzorcowania |
|-----|------------------------|--------------------------------|------------------------------|-----------------------------|
| 1. | Miernik Narda NBM-520 | Zależny od sondy | LWiPM/W/449/25** | 2027-11-05 |
| 2. | Sonda Narda EF9091 | 0,75 – 310V/m 80MHz – 90GHz | LWiPM/W/449/25** | 2027-11-05 |
| 3. | Sonda Narda EF0691 | 0,56 – 550V/m 0,1MHz – 6GHz | LWiPM/W/449/25** | 2027-11-05 |

**LWiPM – Laboratorium Wzorców i Metrologii Pola Elektromagnetycznego, IPolitechnika Wroclawska

Tabela nr 5 – Sprzęt uzupełniający

| Lp. | Nazwa i typ urządzenia | Zakres pomiarowy | Numer świadectwa wzorcowania | Data następnego sprawdzenia |
|-----|------------------------------------|---------------------------|------------------------------|-----------------------------|
| 1. | Termohigrometr UNI-T UT333 | -20 ÷ +60°C 0 – 100%RH | 466-1223/23*** | 2027-07-15 |
| 2. | Dalmierz laserowy Bosch GLM 250 VF | 0,05 – 250m | 215.1-M11-4180-116/13**** | 2026-06-19 |
| 3. | Urządzenie GPS GPSMAP 62ST | - | - | 2026-09-04 |

***Laboratorium Pomiarowe INTROL

****Zakład Długości Kąta GUM

12. Wyniki badań

Tabela nr 6 – Wartości natężenia pola elektrycznego i magnetycznego

| Nr pionu | Opis miejsca pomiaru | Zmierzona wartość natężenia pola ² E [V/m] | Natężenie pola ³ E [V/m] | Natężenie pola ⁴ H [A/m] | Wysokość Pomiaru ⁵ [m] | Współrzędne geograficzne pionu | Wartości WME ⁶ | Wartości WMH ⁶ |
|----------|--|---|-------------------------------------|-------------------------------------|-----------------------------------|--------------------------------|---------------------------|---------------------------|
| 1 | ¹ PKP 262°, teren zakładu | 2,7 | 3,3 | 0,009 | 2,00 | 50.68477 17.92108 | 0,12 | 0,12 |
| 2 | PKP 0°, teren zakładu | 3,2 | 3,9 | 0,010 | 1,00 | 50.68545 17.92198 | 0,14 | 0,14 |
| 3 | ¹ GKP 315°, teren zakładu | 2,6 | 3,2 | 0,008 | 1,80 | 50.68591 17.92033 | 0,11 | 0,11 |
| 4 | GKP 315°, teren zakładu | 2,0 | 2,5 | 0,007 | 2,00 | 50.68649 17.91951 | 0,09 | 0,09 |
| 5 | PKP 277°, teren zakładu | 2,3 | 2,8 | 0,008 | 1,00 | 50.68517 17.91993 | 0,10 | 0,10 |
| 6 | PKP 197°, przy placu GPZ | 3,0 | 3,7 | 0,010 | 1,00 | 50.68455 17.92191 | 0,13 | 0,13 |
| 7 | GKP 215°, przy placu GPZ | 3,8 | 4,7 | 0,012 | 1,00 | 50.68454 17.92161 | 0,17 | 0,17 |
| 8 | GKP 120°, przy ogródkach działkowych ROD | 3,7 | 4,6 | 0,012 | 0,60 | 50.68458 17.92287 | 0,16 | 0,16 |
| 9 | GKP 120°, teren ROD | 1,8 | 2,2 | 0,006 | 2,00 | 50.68387 17.92471 | 0,08 | 0,08 |
| 10 | GKP 120°, teren ROD | 1,1 | 1,4 | 0,004 | 2,00 | 50.68362 17.92547 | 0,05 | 0,05 |

* wynik poniżej dolnego zakresu pomiarowego miernika - przy wskazaniach sondy poniżej dolnego zakresu pomiarowego miernika dla punktu pomiarowego, przyjęto do obliczeń wyniku skorygowanego wartość skorelowaną z rzeczywistym wynikiem pomiaru tj. dolny zakres pomiarowy miernika 0,7 V/m.

¹ - GKP – Główny Kierunek Pomiarowy, PKP- Pomocniczy kierunek pomiarowy

² – wynik pomiaru, z uwzględnieniem współczynników Cf (charakterystyka częstotliwościowa) i Cd (charakterystyka dynamiczna).

³ - wynik pomiaru natężenia skutecznego pola elektromagnetycznego powiększony o niepewności pomiaru. Wartość chwilowa, zgodnie z pkt. 11 załącznika do rozporządzenia Ministra Klimatu z dnia 17 lutego 2020 r. (Dz. U. 2022 poz. 2630).

⁴ - wartość wyznaczona na podstawie pomiaru wartości skutecznej natężenia pola elektrycznego, z uwzględnieniem niepewności pomiaru, dla pomiarów wykonanych od źródła pól elektromagnetycznych, z zależności opisanej w pkt.3 załącznika do rozporządzenia Ministra Klimatu z dnia 17 lutego 2020 r. (Dz. U. 2022 poz.2630).

⁵- wysokość liczona jest od poziomu podłoża, gruntu

⁶ - wartości wskaźnikowe zgodnie z pkt.25 ppkt.1 załącznika do rozporządzenia Ministra Klimatu z dnia 17 lutego 2020 r. (Dz. U. 2022 poz. 2630):

$$WM_E = \frac{E}{\min(ME_{gr})}$$

$$WM_H = \frac{H}{\min(MH_{gr})}$$

gdzie:

WME (WMH) – oznacza wartość wskaźnikową poziomu emisji pól elektromagnetycznych dla miejsc dostępnych dla ludności dla składowej elektrycznej (magnetycznej) pola,

E (H) – oznacza zmierzoną wartość skuteczną natężenia pola elektrycznego E, wyrażoną w V/m, (natężenia pola magnetycznego H, wyrażonego w A/m), uśrednioną w sposób określony w przepisach wydanych na podstawie art. 122 ust. 1 ustawy z dnia 27 kwietnia 2001 r. – Prawo ochrony środowiska lub zgodnie z pkt. 11 załącznika do rozporządzenia Ministra Klimatu z dnia 17 lutego 2020 r. (Dz. U. 2022 poz. 2630).

min(ME_{gr}), (min MH_{gr}) – oznacza najniższą dopuszczalną wartość składowej elektrycznej (magnetycznej) pola dla objętego pomiarami zakresu częstotliwości dla miejsc dostępnych dla ludności określoną w przepisach wydanych na podstawie art. 122 ust. 1 ustawy z dnia 27 kwietnia 2001 r. – Prawo ochrony środowiska wyrażoną w V/m rozporządzeniem Min. Zdrowia z 17 grudnia 2019 roku Dz.U 2019 poz.2448.

Oszacowana niepewność rozszerzona przeprowadzonych pomiarów natężenia pola elektromagnetycznego nie przekracza 23,0 % (niepewność rozszerzona przy prawdopodobieństwie rozszerzenia ok.95% i współczynnika k=2).

Badanie wykonywano metodą dwóch sond szerokopasmowych opisaną w dokumencie Z7.4.5 *Ocena możliwości realizacji metody badawczej* wydanie z 2024-06-12. W każdym z pionów pomiarowych sprawdzono i wykluczono udział promieniowania radiolinii w badanym widmie, korzystając z w/w metody.

W czasie badania wykonano pomiar kontrolny. Zmienność poziomu pola elektromagnetycznego w pkt. 6 referencyjnych została uwzględniona w niepewności pomiarów.

| Punkt referencyjny | Pomiar 1 | | Pomiar 2 | | Zmienność poziomu pola-EM |
|--------------------|----------|---------|----------|---------|---------------------------|
| | | 3,7 V/m | - A/m | 3,7 V/m | -A/m |

13. Podsumowanie

Dopuszczalny poziom promieniowania, dla poszczególnych zakresów częstotliwości, charakteryzują parametry fizyczne określone w załączniku do Rozporządzenia Ministra Zdrowia z dnia 17 grudnia 2019 r. w sprawie dopuszczalnych poziomów pól elektromagnetycznych w środowisku (Dz. U. 2019, poz. 2448) – tabela nr 7.

Tabela nr 7 – Dopuszczalne poziomy pola elektromagnetycznego dla miejsc dostępnych dla ludności.

| Zakres częstotliwości pola elektromagnetycznego | Składowa elektryczna E (V/m) | Składowa magnetyczna H (A/m) | Gęstość mocy S (W/m ²) |
|---|------------------------------|------------------------------|------------------------------------|
| 0 Hz | 10000 | 2500 | ND |
| Od 0 Hz do 0,5 Hz | ND | 2500 | ND |
| Od 0,5 Hz do 50 Hz | 10000 | 60 | ND |
| Od 0,05 Hz do 1 kHz | ND | 3 / f | ND |
| Od 1 kHz do 3 kHz | 250 / f | 5 | ND |
| Od 3 kHz do 150 kHz | 87 | 5 | ND |
| Od 0,15 MHz do 1 MHz | 87 | 0,73 / f | ND |
| Od 1 MHz do 10 MHz | 87 / f ^{0,5} | 0,73 / f | ND |
| Od 10 MHz do 400 MHz | 28 | 0,073 | 2 |
| Od 400 MHz do 2000 MHz | 1,375 x f ^{0,5} | 0,0037 x f ^{0,5} | f / 200 |
| Od 2 GHz do 300 GHz | 61 | 0,16 | 10 |

Podczas badania przyjęto, jako wartości dopuszczalną poziomu pola elektromagnetycznego w środowisku wartość 2 W/m² (28 V/m).

Pomiary wykonano dla średniego kąta pochylenia wiązki. Przeprowadzone badania w środowisku, w obszarze pomiarowym, w otoczeniu badanej stacji bazowej, w zmierzonych pionach pomiarowych, nie wykazały przekroczenia 60% wartości dopuszczalnych poziomów pola elektromagnetycznego. W związku z tym nie wymagane są dodatkowe pomiary dla największego i najmniejszego stosowanego lub planowanego kąta pochylenia wiązki, zgodnie z pkt 13. ppkt. 2 załącznika do rozporządzenia Ministra Klimatu z dnia 17 lutego 2020 r. (Dz. U. 2022 poz. 2630). Zgodnie z pkt 25 rozporządzenia Ministra Klimatu z dnia 17 lutego 2020 r. (Dz. U. 2022 poz. 2630), nie jest wymagane wykonanie pomiaru miernikiem selektywnym.

Stwierdzenie zgodności:

Na podstawie wytycznych wskazanych w obwieszczeniu Ministra Klimatu i Środowiska z dnia 21 listopada 2022 r. w sprawie ogłoszenia jednolitego tekstu rozporządzenia Ministra Klimatu w sprawie sposobów sprawdzania dotrzymywania dopuszczalnych poziomów pól elektromagnetycznych w środowisku (Dz. U. 2022, poz. 2630) oraz na podstawie otrzymanych wyników pomiarów i informacji uzyskanych od klienta, stwierdzono iż w miejscach dostępnych dla ludności do których uzyskano dostęp, w żadnym punkcie/pionie pomiarowym, w środowisku wokół stacji bazowej **OPO1532B** nie występują przekroczenia dopuszczalnych poziomów pola elektromagnetycznego, określonych w tabeli nr 7, w badanym zakresie pomiarowym.

Dopuszczalne poziomy pola elektromagnetycznego w środowisku określone w przepisach wydanych na podstawie art.122 ust. 1 ustawy z dnia 27 kwietnia 2001 r. – Prawo ochrony środowiska uznaje się za dotrzymane w badanym obszarze pomiarowym, w zmierzonych pionach pomiarowych, gdyż w wyniku zastosowania sprawdzenia dotrzymywania dopuszczalnych poziomów pola elektromagnetycznego w środowisku, o którym mowa w pkt. 25 ppkt.1 i pkt. 26 (załącznika do rozporządzenia Ministra Klimatu z dnia 17 lutego 2020 r. Dz. U. 2022 poz. 2630), żadna z wartości wskaźnikowych nie przekracza 1.

14. Załączniki

Załącznik nr 1 – Rysunek poglądowy terenu, rozmieszczenie pionów pomiarowych na terenie wokół stacji



Zdjęcie satelitarne: Image © 2026 Google



Załącznik nr 1 – Rysunek poglądowy terenu, rozmieszczenie pionów pomiarowych na terenie wokół stacji, OPO1532B – 45-118 Opole, ul. Harcerska 15

Wykonała:

Skala:
1:4200

Koniec sprawozdania